

уже технически реализовано; б) увеличением числа измерений (бросаний) с последующим усреднением. (Очевидно, что увеличение числа измерений при данном  $T$  эквивалентно увеличению  $T$ .)

Таким образом, способы определения абсолютного значения  $g$  по измеренному пути и времени и по изменению скорости за известное время задержки сравнимы по точности, но время измерения  $g$  вторым способом существенно меньше времени измерения  $g$  первым способом. Следовательно, при измерении  $g$  по изменению скорости можно выявить некоторые систематические погрешности.

Кроме того, при определении  $g$  рассмотренным способом можно без потери точности значительно уменьшить путь, проходимый падающим зеркалом. Это существенно снижает габариты и вес установки, а также облегчает борьбу с влиянием внешних воздействий на точность измерения  $g$ .

Автор благодарен В. М. Хавинсону за полезные обсуждения.

## ЛИТЕРАТУРА

1. J. A. Hampton and J. E. Fallerg. Laser-Interferometer System for the Determination of the Acceleration of Gravity.—IEEE Proc. QE, 1967, v. 3, № 11.
2. Г. Б. Гутман, Г. И. Злотник. Частотные соотношения при отражении электромагнитного поля от движущейся поверхности.—Труды метрологических институтов СССР, вып. 139 (199). М., Изд-во стандартов, 1972.
3. Утверждение государственного эталона СССР единицы длины.—Измерительная техника, 1968, № 2.
4. В. Г. Ильин, В. В. Сажин. Государственная служба времени и частоты СССР в 1972 г.—Измерительная техника, 1972, № 1.
5. С. В. Шустров. Методы измерения малой девиации частоты.—Труды метрологических институтов СССР, вып. 106(166). М., Изд-во стандартов, 1969.
6. Ю. А. Климонтович, А. С. Ковалев, П. С. Ланда. Естественные флюктуации в лазерах.—УФН, 1972, т. 106, вып. 2.

Поступило в редакцию 22 января 1973 г.

УДК 621.383.8 : 621.039.66

П. А. ТАРАСОВ, В. А. ФРОЛОВ

(Москва)

## ПАНОРМАННАЯ СИСТЕМА РАЗВЕРТКИ ЭЛЕКТРОННОГО ПУЧКА В ЭОП С ВЫСОКИМ ВРЕМЕННЫМ РАЗРЕШЕНИЕМ

Описывается метод развертки электронного пучка в электронно-оптическом преобразователе (ЭОП) с высоким времененным разрешением, позволяющий повысить отношение полного времени анализа к величине  $\Delta t = \Delta l/v_p$  ( $\Delta l$  — пространственное разрешение;  $v_p$  — скорость развертки) до значения  $k = 10^4$  и больше.

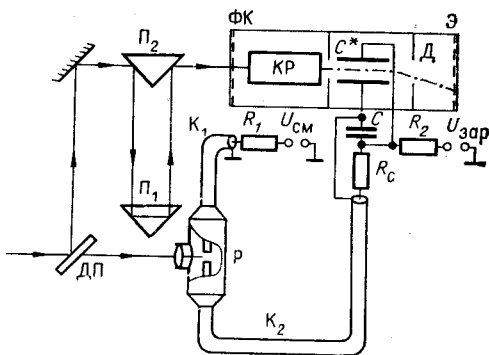
Использовалась трахоидальная развертка изображения [1], что позволило сочетать достоинства быстрой круговой развертки [2] с возможностью анализа событий, отстоящих друг от друга на время, большее периода развертки. При использовании только круговой развертки из-за наложения изображений такой анализ практически невозможен.

Трахоидальная развертка в схеме эксперимента [1] была реализована следующим образом (рис. 1): электронный пучок с фотокатода ЭОП проходил систему непрерывно работающей круговой развертки на частоте  $10^{10}$  Гц [3] и напряжением смещения  $U_{cm}$  на пластинках линейной развертки уводился за пределы экрана ЭОП.

Исследуемый лазерный импульс, отраженный делительной пластиной ДП поджигал разрядник Р. После этого кабель К<sub>1</sub>, заряженный до напряжения  $+U_{зар}$ , разряжался на кабель К<sub>2</sub>, сменную емкость С и емкость пластины С\*. Этим обеспечивалась линейная развертка точечного изображения, сфокусированного (после прохождения оптической задержки из призм П<sub>1</sub> — П<sub>2</sub>) на фотокатод ФК. Выбором длины оптической задержки и кабеля К<sub>2</sub> достигалась синхронизация времени прихода на фотокатод сигнала и

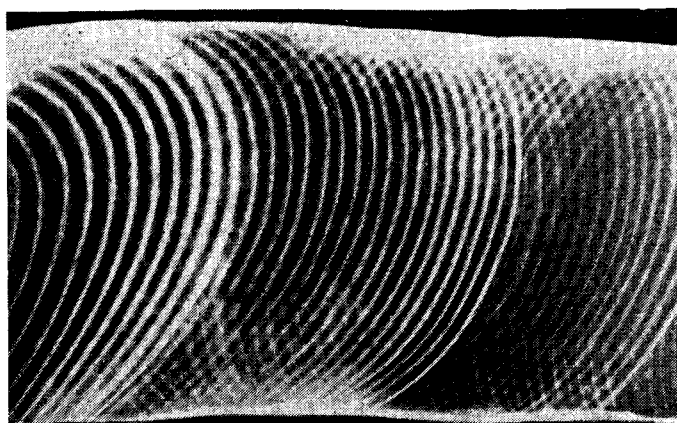
*Рис. 1.* Схема линейной развертки луча в ЭОП, осуществляемой с помощью искрового разрядника:

ДП — делительная пластина; Р — искровой разрядник; К<sub>1</sub>, К<sub>2</sub> — коаксиальные кабели; R<sub>1</sub>, R<sub>2</sub> — зарядные сопротивления; П<sub>1</sub>, П<sub>2</sub> — призмы линии световой задержки; R<sub>c</sub> — согласующее сопротивление порядка 75 Ом; С — конденсатор; С\* — емкость пластины; ФК — фотокатод ЭОП; Э — люминесцентный экран; КР — круговая развертка луча в ЭОП; Д — диафрагма.

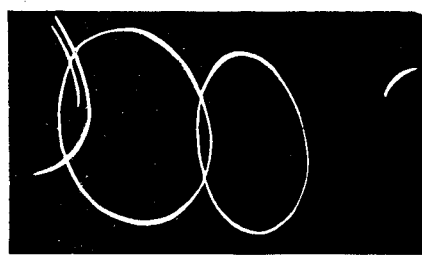


момента начала развертки. Скорость развертки регулировалась величиной емкости С. Зарядное сопротивление R<sub>2</sub> подбиралось таким образом, чтобы после прекращения разряда в разряднике Р кабель K<sub>2</sub> перезаряжался за время, большее времени работы лазера.

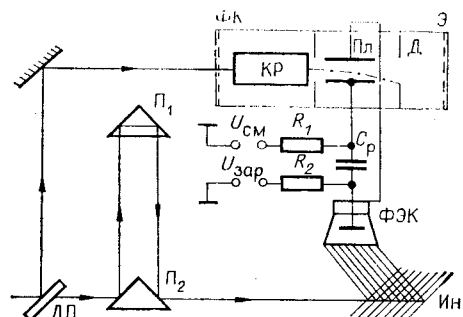
На рис. 2. показана часть трахоидальной развертки гигантского лазерного импульса. Наблюдается около 70 соседних витков. Расстояние между витками соответствует  $10^{-10}$  с (период круговой развертки луча). При временном разрешении ЭОП с трахоидальной разверткой луча  $10^{-12}$  с  $k=10^4$ . На рис. 3 приведена развертка двух соседних импульсов лазера, работающего в режиме захвата мод [4].



*Рис. 2.* Фотография линейного отклонения луча, развернутого предварительно по окружности СВЧ-полем 3-сантиметрового диапазона.



*Рис. 3.* Зарегистрировано два соседних импульса лазера, работающего в режиме захвата мод.



*Рис. 4.* Схема развертки луча в ЭОП, получаемой с помощью коаксиального фоторэлемента:

C<sub>Р</sub> — разделительная емкость; ФЭК — коаксиальный фоторэлемент типа ФЭК-9; ИН — интегратор; Пл — отклоняющая пластина; остальные обозначения те же, что и на рис. 1.



Рис. 5. Снимок с экрана ЭОП с управлением от генератора.

После прохождения оптической задержки призм ( $\Pi_1 - \Pi_2$ ) импульс лазерного излучения, отразившись от стопы плоскопараллельных пластин, поступает на фотокатод ФЭК. Многократные отражения в стопе затягивают короткие наносекундные импульсы и уменьшают токовые перегрузки в ФЭК. Электрические импульсы фотокатода проходят через разделительную емкость  $C_p$  и вызывают смещение изображения круговой разрядки луча всякий раз, когда на ФЭК поступает световой сигнал. Благодаря световой задержке  $\Pi_1 - \Pi_2$  достигается жесткая синхронизация начала развертки с моментом появления сигнала на фотокатоде ЭОП. Величина смещения зависит от уровня сигнала и регулируется сменным фильтром, устанавливаемым перед фотокатодом ФЭК. ФЭК соединен с входом пластин отклонения коротким коаксиальным. Емкость пластин  $C^* = 1 \text{ пФ}$ , разделительная емкость  $C_p = 10 \text{ пФ}$ ,  $U_{\text{зар}} = 3 \text{ кВ}$ .

При соответствующем выборе интегратора описанный генератор можно применять и для сверхбыстрой линейной развертки луча, хорошо синхронизированной с анализируемым сигналом [5]. Рис. 5 получен с использованием фотоэлектрического генератора сдвига.

#### ЛИТЕРАТУРА

1. С. Д. Фанченко, В. А. Фролов. Пикосекундная структура излучения лазера с нелинейным поглотителем.— Письма в ЖЭТФ, 1972, т. 16, вып. 3.
2. Е. К. Завойский, С. Д. Фанченко. Физические основы электронно-оптической хронографии.— Докл. АН СССР, 1956, т. 108.
3. М. М. Бут слов, Е. К. Завойский, С. Д. Фанченко. Каскадные ЭОП для исследования быстропротекающих процессов. Оптико-механическая промышленность, 1972, № 8.
4. Де Мария. Получение пикосекундных импульсов при помощи лазера с синхронизацией мод.— Электроника, 1968, т. 41, № 19.
5. Г. А. Иванов, А. В. Домбровский, А. С. Ганеева, В. И. Пономарев, В. М. Попов. Управление изображением в ЭОП при помощи фотодатчиков — ПТЭ. 1972, № 4.

Поступило в редакцию 28 мая 1973 г.

УДК 681.325.6

В. Я. ПИВКИН  
(Новосибирск)

#### О СВЕДЕНИИ ЗАДАЧИ ПОСТРОЕНИЯ ДИАГНОСТИЧЕСКОГО ТЕСТА ДЛЯ КОМБИНАЦИОННОЙ СХЕМЫ К ЗАДАЧЕ ПОСТРОЕНИЯ КОНТРОЛИРУЮЩЕГО ТЕСТА

Пусть имеется одновходная комбинационная схема  $f$ , реализующая булеву функцию  $f(x_1, \dots, x_n)$ . Совокупность входных наборов  $T_f = \{\alpha_1, \dots, \alpha_m\}$  образует контролирующий тест для схемы  $f$ , если любая (одиночная или кратная) устойчивая неисправность схемы, приводящая к изменению реализуемой функции, обнаружима хотя бы на одном из этих наборов. Совокупность входных наборов  $D_f = \{\beta_1, \dots, \beta_k\}$  называется диагностическим тестом, если она является контролирующим тестом, и, кроме